



CONTROLE NUMÉRICO DE UM SISTEMA *BALL AND BEAM* VIA ALOCÇÃO DE POLOS

Luiz Felipe Gomes do Nascimento, luizfelipedeo98@gmail.com
Sanderson Manoel da Conceição, sandersonconceicao@ufgd.edu.br

Universidade Federal da Grande Dourados, Rodovia MS-270, Cidade Universitária, (Dourados – Itahum, km12- MS),
CEP: 79807-970

Resumo. O presente trabalho visa controlar a posição de uma bola sobre um determinado feixe por meio da técnica de alocação de polos. A modelagem matemática foi realizada com base nas equações de Lagrange, as quais foram fundamentais para a representação dinâmica do sistema estudado. Os resultados mostraram que, quanto mais afastados à esquerda estão os polos arbitrados, mais rápida é a resposta à referência utilizada (função degrau unitário). Ademais, o projeto via alocação de polos foi bem-sucedido em seu emprego, uma vez que gerou resultados satisfatórios.

Palavras chave: *Ball and Beam*. Modelagem Matemática. Controle de Sistemas. Alocação de polos

1. INTRODUÇÃO

Nos mais diferentes campos da engenharia, os sistemas de controle têm um papel muito importante no que diz respeito a atingir objetivos pré-determinados. Nos navios atuais, por exemplo, sistemas elétricos, mecânicos e hidráulicos, em conjunto, geram comandos de leme a fim de direcionar o navio para a posição pretendida (Nise, 2013). Até mesmo o corpo humano possui sistemas de controle. O fígado, por exemplo, controla a transformação da glicose ingerida em glicogênio (Cox, Lehninger e Nelson, 2014).

A estabilidade é o principal objetivo a ser atingido em um sistema de controle. Uma vez que ela é atingida, podem-se estabelecer requisitos de desempenho a serem cumpridos. A maioria das técnicas de controle moderno são dependentes de um modelo matemático, os quais podem assumir diferentes aspectos e, dependendo de um sistema e das circunstâncias particulares, um modelo pode ser mais conveniente que outro.

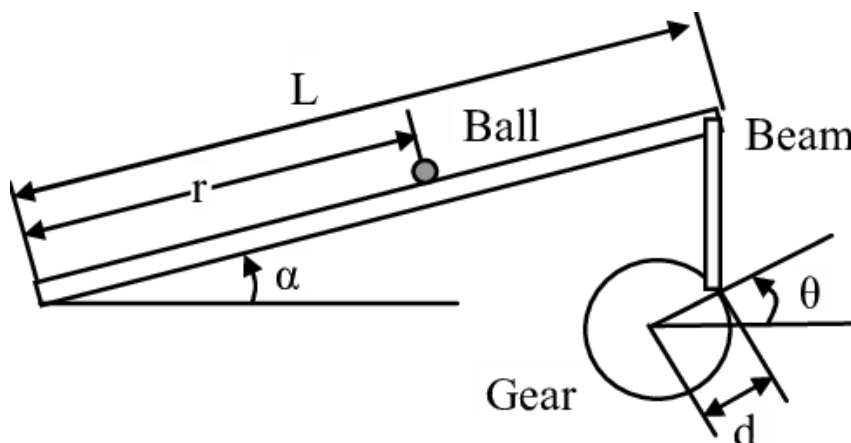
A técnica de alocação de polos é muito eficiente para garantir a estabilidade de sistemas instáveis. Essa técnica permite alocar polos que estão do lado direito (região instável) do plano complexo para o lado esquerdo (região estável), em posições previamente estabelecidas, permitindo que o sistema responda conforme as especificações de desempenho.

O objetivo do atual trabalho é modelar e projetar um controle para um sistema do tipo *ball and beam*. A técnica de controle utilizada foi a alocação de polos, que foi eficaz em manter a bola em uma posição pré-estabelecida.

2. MODELAGEM DO SISTEMA *BALL AND BEAM*

A seguir, segue uma imagem ilustrativa do presente trabalho.

Figura 1. Imagem ilustrativa do sistema *ball and beam* estudado neste artigo, retirada de LV, *et al.*, 2011



Para determinar a equação que descreve o movimento da bola, utilizaram-se as equações de Lagrange. Na modelagem, o efeito do atrito entre a bola e o feixe foi desconsiderado. As equações de Lagrange, para um sistema de n graus de liberdade, têm a seguinte forma (RAO,2009):

$$\frac{d}{dt} \left(\frac{\partial T}{\partial \dot{q}_j} \right) - \frac{\partial T}{\partial q_j} + \frac{\partial V}{\partial q_j} = Q_j^{(n)} \quad (1)$$

Em que $\dot{q}_j = \frac{\partial q_j}{\partial t}$ é a velocidade generalizada e $Q_j^{(n)}$ é a força generalizada não-conservativa correspondente à coordenada generalizada q_j (esse termo, neste trabalho, é nulo, uma vez que não está sendo considerada qualquer força de caráter dissipativo). Os termos T e V representam, respectivamente, as energias cinética e gravitacional da bola. Assim, temos:

$$T = \frac{1}{2} m (\dot{r})^2 + \frac{1}{2} J (\dot{\alpha})^2 \quad (2)$$

$$V = mg \operatorname{sen} \alpha r \quad (3)$$

Substituindo as Eq. (2) e Eq. (3) na Eq. (1), obtém-se a seguinte equação de movimento:

$$\left(\frac{J}{R^2} + m \right) \ddot{r} + mg \operatorname{sen} \alpha - m r \dot{\alpha}^2 = 0 \quad (4)$$

A linearização dessa equação sobre o ângulo do feixe $\alpha = 0$ nos dá a seguinte aproximação linear do sistema:

$$\left(\frac{J}{R^2} + m \right) \ddot{r} + mg \operatorname{sen} \alpha = 0 \quad (5)$$

Considerando pequenas variações para o ângulo α , temos que $\operatorname{sen} \alpha \cong \alpha$. Desse modo, temos:

$$\left(\frac{J}{R^2} + m \right) \ddot{r} + mg \alpha = 0 \quad (6)$$

A seguir, a Tab. 1 mostra os valores supostos para os parâmetros do presente trabalho:

Tabela 1. Valores dos parâmetros utilizados neste trabalho, acompanhados de suas respectivas unidades

Parâmetros	Valor	Unidade de medida (SI)
Massa da bola (m)	0,11	kg
Raio da bola (R)	0,015	m
Deslocamento do braço de alavanca (d)	0,03	m
Aceleração da gravidade (g)	9,81	m/s ²
Comprimento da viga (L)	1	m
Momento de inércia da bola (J)	$9,99 \times 10^{-6}$	kg.m ²

2.1 Representação em espaço de estados

Com a equação diferencial que descreve o sistema em questão (Eq.(6)), uma mudança de variáveis foi feita, de modo a representar o sistema em uma representação de espaço de estados. A representação por espaço de estados permite o acesso a todas variáveis do sistema (Dorf e Bishop, 2015).

As variáveis de estados que serão levadas em consideração neste trabalho são as seguintes: posição e velocidade da bola bem como posição e velocidade angulares da barra, na seguinte ordem:

Posição da bola = r

Velocidade da bola = \dot{r}

Posição angular = α

Velocidade angular = $\dot{\alpha}$

A representação geral em espaço de estados tem a seguinte forma:

$$\dot{\mathbf{x}} = \mathbf{Ax} + \mathbf{Bu} \quad (7)$$

$$y=Cx+Du \quad (8)$$

Em que

A é a matriz de estado ou matriz dinâmica

B é a matriz de entrada

C é a matriz de saída

D é a matriz de transmissão direta (considera os efeitos dos ruídos)

x é o vetor de estado

y é vetor de saída

u é a força externa

Para o presente caso, a representação em espaço de estados tem o seguinte formato:

$$\begin{bmatrix} \dot{r} \\ \ddot{r} \\ \dot{\alpha} \\ \ddot{\alpha} \end{bmatrix} = \begin{bmatrix} 0 & 1 & 0 & 0 \\ 0 & 0 & \frac{-mg}{\left(\frac{J}{R^2}+m\right)} & 0 \\ 0 & 0 & 0 & 1 \\ 0 & 0 & 0 & 0 \end{bmatrix} \begin{bmatrix} r \\ \dot{r} \\ \alpha \\ \dot{\alpha} \end{bmatrix} + \begin{bmatrix} 0 \\ 0 \\ 0 \\ 1 \end{bmatrix} u \quad (9)$$

$$y=[1 \quad 0 \quad 0 \quad 0] \begin{bmatrix} r \\ \dot{r} \\ \alpha \\ \dot{\alpha} \end{bmatrix} \quad (10)$$

Em que

$$A = \begin{bmatrix} 0 & 1 & 0 & 0 \\ 0 & 0 & \frac{-mg}{\left(\frac{J}{R^2}+m\right)} & 0 \\ 0 & 0 & 0 & 1 \\ 0 & 0 & 0 & 0 \end{bmatrix}, B = \begin{bmatrix} 0 \\ 0 \\ 0 \\ 1 \end{bmatrix}, C = [1 \quad 0 \quad 0 \quad 0] \text{ e } D = [0]$$

3. PROJETO VIA ALOCAÇÃO DE POLOS PARA SERVOSISTEMAS

O projeto de servossistemas consiste, basicamente, em controlar a posição de determinado objeto de estudo, que é exatamente o objetivo deste trabalho. Para alocar um estado inicial para um estado final desejado, o sistema em questão deve ser completamente controlável (Ogata, 2010). Uma maneira de verificar se o sistema é completamente controlável é a partir do posto da matriz de controlabilidade: se o posto da matriz de controlabilidade for igual à ordem da matriz de controlabilidade, então o sistema é de estado completamente controlável. O posto de uma matriz é, por definição, o número de filas (linhas ou colunas) linearmente independentes. A matriz de controlabilidade, de ordem n , é definida por:

$$C_M = [B \quad AB \quad A^2B \quad \dots \quad A^{n-1}B] \quad (11)$$

Dessa forma, considerando os valores da Tab. 1, a matriz de controlabilidade fica da seguinte forma:

$$C_M = \begin{bmatrix} 0 & 0 & 0 & -7 \\ 0 & 0 & -7 & 0 \\ 0 & 1 & 0 & 0 \\ 1 & 0 & 0 & 0 \end{bmatrix}$$

Após uma análise, conclui-se que o posto dessa matriz é 4. Dado que o posto é igual à ordem da matriz, o sistema é de estados completamente controláveis.

3.1 Determinação da matriz de ganho **K**

No presente trabalho, a matriz de ganho **K** será obtida por meio do método da substituição direta. Considerando que o sistema é de estado completamente controlável, existe uma matriz **K** tal que:

$$|sI-A+BK| = (s-\mu_1)(s-\mu_2)(s-\mu_3)(s-\mu_4) \quad (12)$$

Em que μ_1, μ_2, μ_3 e μ_4 são os polos arbitrários escolhidos. Assim, tem-se:

$$\left| s \begin{bmatrix} 1 & 0 & 0 & 0 \\ 0 & 1 & 0 & 0 \\ 0 & 0 & 1 & 0 \\ 0 & 0 & 0 & 1 \end{bmatrix} - \begin{bmatrix} 0 & 1 & 0 & 0 \\ 0 & 0 & -7 & 0 \\ 0 & 0 & 0 & 1 \\ 0 & 0 & 0 & 0 \end{bmatrix} + \begin{bmatrix} 0 \\ 0 \\ 0 \\ 1 \end{bmatrix} [k_1 \quad k_2 \quad k_3 \quad k_4] \right| = (s-\mu_1)(s-\mu_2)(s-\mu_3)(s-\mu_4) \quad (13)$$

Como ambos os lados da equação característica são polinômios em s , igualando os coeficientes de mesma potência em s , é possível determinar os valores para k_1, k_2, k_3 e k_4 . Quando a ordem da matriz de controlabilidade for maior ou igual a 4 ($n \geq 4$), o algebrismo para encontrar \mathbf{K} torna-se muito tedioso (Ogata,2010); dessa forma, utilizou-se o software Scilab, a partir do comando *ppol*, para realizar todas as iterações necessárias para encontrar a matriz de ganho \mathbf{K} .

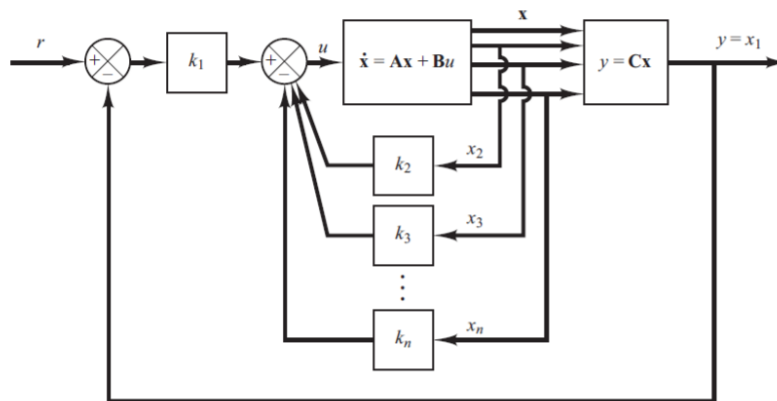
Vale frisar que o comando *ppol* iguala os coeficientes de mesma potência da equação característica com realimentação com a equação do polinômio dos polos arbitrados e, então, encontra a matriz \mathbf{K} .

Considerando o presente projeto como uma planta que possui um integrador, é possível escolher a saída igual a uma das variáveis de estado. Foi considerada, neste trabalho, a saída $y = r$, que é a posição da bola sobre o feixe. Nesta análise, o sinal de referência considerado foi a função degrau. No presente sistema, utilizou-se o seguinte esquema de controle por realimentação de estado:

$$u = -[0 \quad k_2 \quad k_3 \dots k_n] \begin{bmatrix} x_1 \\ x_2 \\ \vdots \\ x_n \end{bmatrix} + k_1(r - x_1) = -\mathbf{K}\mathbf{x} + k_1 r \quad (14)$$

A figura 2 mostra uma configuração geral de servossistemas quando a planta possui um integrador.

Figura 2. Configuração geral de servossistemas considerando que a planta possui um integrador (Ogata, 2010)



Substituindo a Eq.(14) na Eq.(7), tem-se

$$\dot{\mathbf{x}} = (\mathbf{A} - \mathbf{BK})\mathbf{x} + k_1 r \quad (15)$$

e

$$y = \mathbf{C}\mathbf{x} + \mathbf{D}u \quad (16)$$

4. RESULTADOS E DISCUSSÕES DAS SIMULAÇÕES NUMÉRICAS

Antes de partir para a análise de resultados e discussões, é necessário especificar os requisitos de desempenho que servirão como critério avaliativo para as análises dos resultados. São eles:

- Máximo sobressinal inferior a 5%
- Tempo de acomodação inferior a 3 segundos

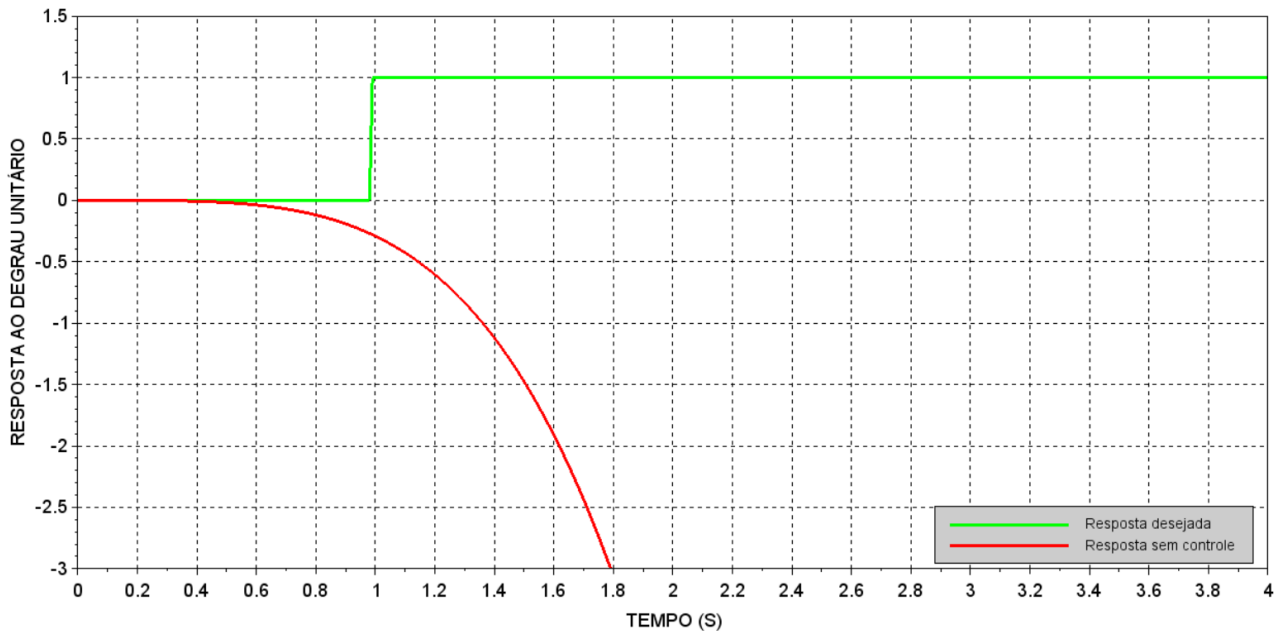
De acordo com Ogata (2010), esses parâmetros têm a seguinte definição:

Máximo sobressinal: máximo valor atingido pela curva de resposta do sistema, medido a partir da unidade.

Tempo de acomodação: tempo necessário para que a curva de resposta alcance valores em uma faixa (normalmente de 2% a 5%) do valor final, aí permanecendo indefinidamente.

A Fig. 3 mostra a resposta do sistema sem controle.

Figura 3. Resposta sem controle do sistema estudado



A partir da Fig. 3, fica claro que o sistema é instável em malha aberta; com isso, a bola rolaria para fora do feixe. Portanto, faz-se necessária a ação de algum método para controlar a posição da bola sobre o feixe.

A fim de encontrar polos que satisfaçam os requisitos de desempenho estipulados e que também tenham uma resposta agradável com relação à função degrau unitário, foram arbitrados os seguintes polos:

$$\begin{aligned} \mu_1 &= -1+3i \\ \mu_2 &= -1-3i \\ \mu_3 &= -2+2i \\ \mu_4 &= -2-2i \end{aligned} \tag{17}$$

A matriz de ganho \mathbf{K} , de acordo com a Eq. (13), é:

$$\mathbf{K} = [-11,416922 \quad -7,9918451 \quad 26 \quad 6]$$

Substituindo-a na Eq. (15), tem-se:

$$\mathbf{A} - \mathbf{BK} = \begin{bmatrix} 0 & 1 & 0 & 0 \\ 0 & 0 & -7 & 0 \\ 0 & 0 & 0 & 1 \\ 0 & 0 & 0 & 0 \end{bmatrix} - \begin{bmatrix} 0 \\ 0 \\ 0 \\ 1 \end{bmatrix} [-11,416922 \quad -7,9918451 \quad 26 \quad 6] = \begin{bmatrix} 0 & 1 & 0 & 0 \\ 0 & 0 & -7 & 0 \\ 0 & 0 & 0 & 1 \\ 11,416922 & 7,9918451 & -26 & -6 \end{bmatrix}$$

Assim, a equação de estado do sistema projetado é:

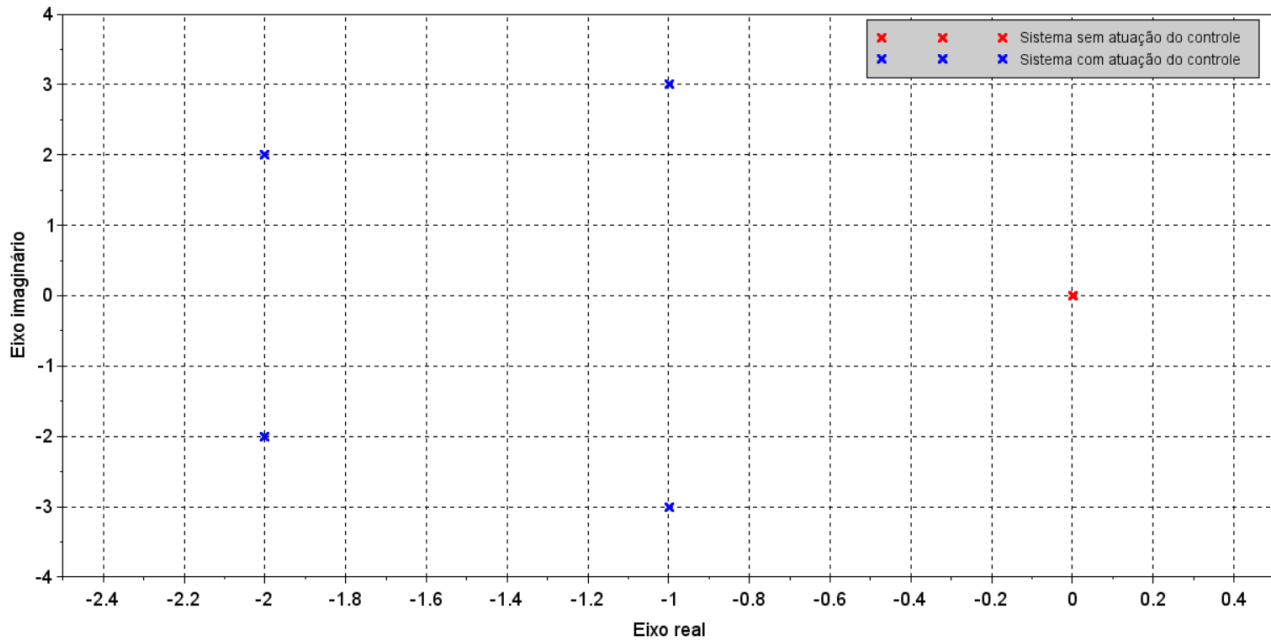
$$\begin{bmatrix} \dot{r} \\ \ddot{r} \\ \dot{\alpha} \\ \ddot{\alpha} \end{bmatrix} = \begin{bmatrix} 0 & 1 & 0 & 0 \\ 0 & 0 & -7 & 0 \\ 0 & 0 & 0 & 1 \\ 11,416922 & 7,9918451 & -26 & -6 \end{bmatrix} \begin{bmatrix} r \\ \dot{r} \\ \alpha \\ \dot{\alpha} \end{bmatrix} + \begin{bmatrix} 0 \\ 0 \\ 0 \\ -11,416922 \end{bmatrix} r \tag{18}$$

E, por fim, a equação de saída, a partir da Eq. (16), é

$$y = [1 \ 0 \ 0 \ 0] \begin{bmatrix} r \\ \dot{r} \\ \alpha \\ \dot{\alpha} \end{bmatrix} \quad (19)$$

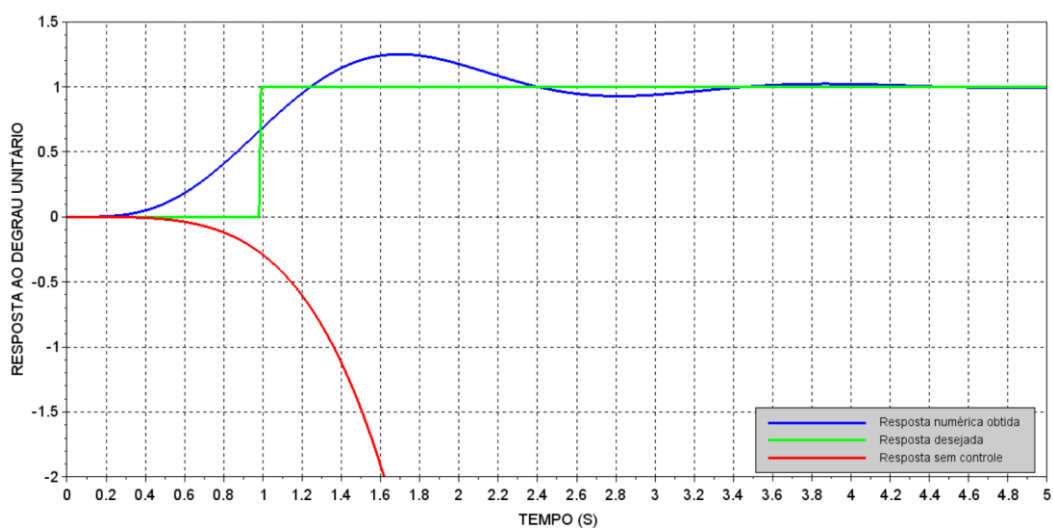
O gráfico mostrando a localização dos polos do sistema antes e após a ação do controle, considerando os polos em (17), é mostrado a seguir:

Figura 4. Gráfico dos polos considerados em (18)



A figura 5 mostra a resposta ao degrau unitário, considerando os polos da Fig. 4 e as Eq. (18) e Eq. (19).

Figura 5. Resposta ao degrau unitário considerando os polos representados na Fig.4



Fazendo-se uma análise na Fig. 5, vê-se que a resposta ao degrau unitário foi atingida. Os requisitos de desempenho, todavia, não foram atingidos. Primeiramente, o máximo sobressinal, pela Fig. 5, ficou em torno de 25%, que é superior ao valor exigido no início. Além disso, o tempo de acomodação também não foi cumprido, uma vez que, pela figura Fig. 5, o tempo de acomodação ficou em torno de 3,5 segundos, que também é superior ao valor estipulado no início.

Deve-se, então, supor outros polos. Os novos seguintes polos foram arbitrados:

$$\begin{aligned}\mu_1 &= -5+2i \\ \mu_2 &= -5-2i \\ \mu_3 &= -4+3i \\ \mu_4 &= -4-3i\end{aligned}\tag{20}$$

A matriz de ganho \mathbf{K} , de acordo com a Eq. (13), é

$$\mathbf{K} = [-103,46585 \quad -68,786952 \quad 134 \quad 18]$$

Substituindo-a na Eq. (15), tem-se que

$$\mathbf{A}-\mathbf{BK} = \begin{bmatrix} 0 & 1 & 0 & 0 \\ 0 & 0 & -7 & 0 \\ 0 & 0 & 0 & 1 \\ 0 & 0 & 0 & 0 \end{bmatrix} - \begin{bmatrix} 0 \\ 0 \\ 0 \\ 1 \end{bmatrix} [-103,46585 \quad -68,786952 \quad 134 \quad 18] = \begin{bmatrix} 0 & 1 & 0 & 0 \\ 0 & 0 & -7 & 0 \\ 0 & 0 & 0 & 1 \\ 103,46585 & 68,786952 & -134 & -18 \end{bmatrix}$$

Assim, a equação de estado do sistema projetado é:

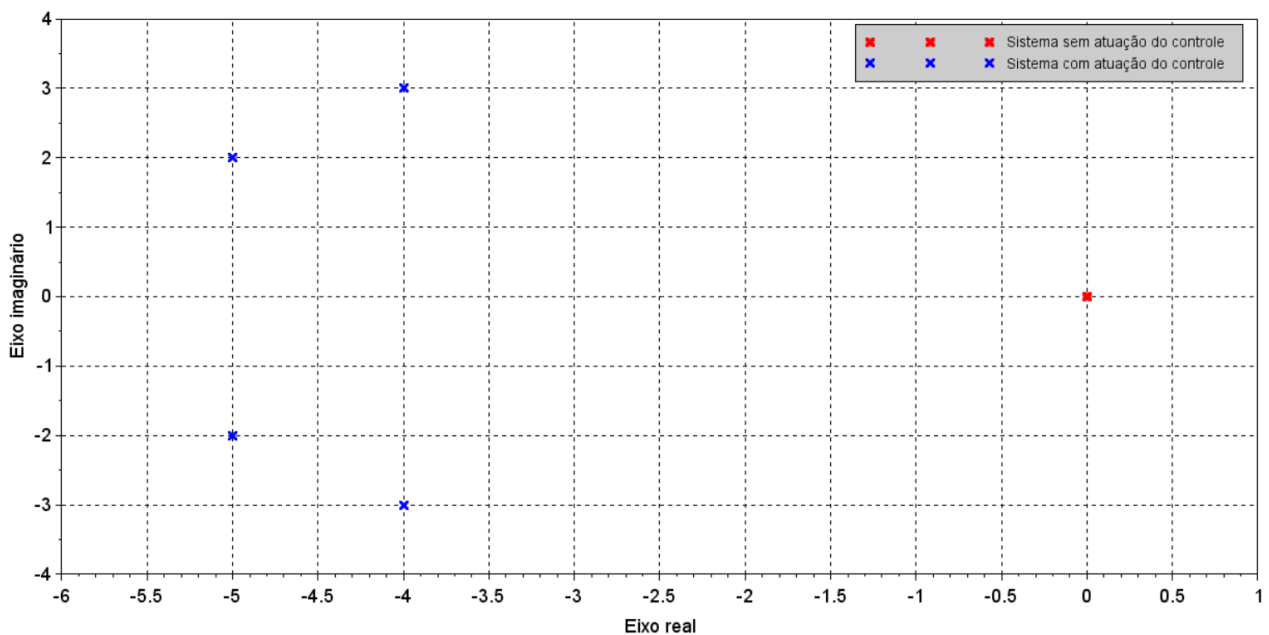
$$\begin{bmatrix} \dot{r} \\ \ddot{r} \\ \dot{\alpha} \\ \ddot{\alpha} \end{bmatrix} = \begin{bmatrix} 0 & 1 & 0 & 0 \\ 0 & 0 & -7 & 0 \\ 0 & 0 & 0 & 1 \\ 103,46585 & 68,786952 & -134 & -18 \end{bmatrix} \begin{bmatrix} r \\ \dot{r} \\ \alpha \\ \dot{\alpha} \end{bmatrix} + \begin{bmatrix} 0 \\ 0 \\ 0 \\ -103,46585 \end{bmatrix} r\tag{21}$$

E, por fim, a equação de saída, a partir da Eq. (16), é

$$\mathbf{y} = [1 \quad 0 \quad 0 \quad 0] \begin{bmatrix} r \\ \dot{r} \\ \alpha \\ \dot{\alpha} \end{bmatrix}\tag{22}$$

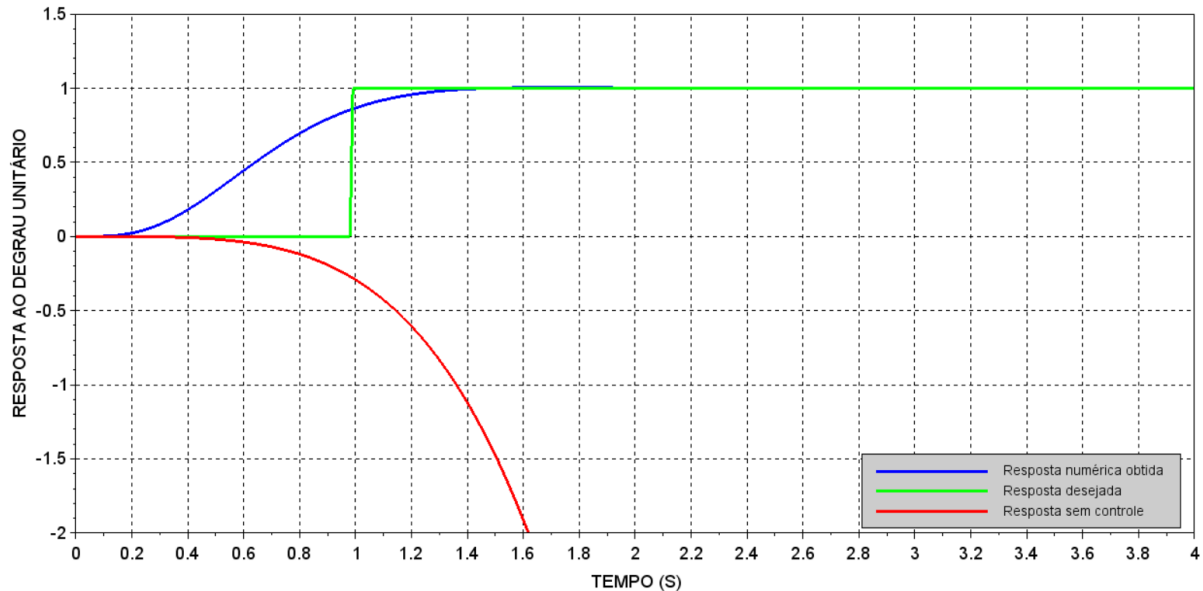
O gráfico dos polos dados em (20) é mostrado a seguir:

Figura 6. Gráfico dos polos considerados em (20)



Agora, a resposta ao degrau unitário, de acordo com os polos da Fig. (6) e com as Eq. (21) e Eq. (22), é a seguinte:

Figura 7. Resposta ao degrau unitário considerando os polos representados na Fig. 6



O tempo de acomodação, pela Fig. 7, está em torno de 1,4 segundo. Esse valor está conforme o requisito inicial. Percebe-se, ainda, pela Fig. 7, que o máximo sobressinal está em torno de 3%, o que também está de acordo com a consideração inicial.

5. CONCLUSÃO

De acordo com os resultados mostrados, o projeto de alocação de polos foi bem-sucedido, uma vez que a posição da bola foi controlada de acordo com a referência (função degrau unitário). Verificou-se que, quanto mais afastados à esquerda do plano imaginário estão os polos arbitrados, mais rápida é a resposta. Isso é devido ao termo real do polo, pois quanto maior é o seu valor, mais amortecimento ele adiciona ao sistema, fazendo com que a resposta seja mais rápida. É importante ressaltar que no sistema físico, para se ter uma resposta mais rápida, é necessário ter um motor mais potente, o qual fornecerá mais tensão ao sistema.

Pretende-se, num futuro próximo, fazer o aparato experimental do presente projeto, bem como ensaios experimentais e compará-los com as simulações numéricas obtidas neste trabalho. Tal aparato será projetado a fim de obter a melhor relação custo e desempenho do controlador.

6. REFERÊNCIAS

- Dorf, Richard C., Bishop, Robert H., *Sistemas de Controle Modernos*, Rio de Janeiro, LTC, 2015.
Lehninger, A. L., Nelson, D. L., Cox, M. M, *Princípios de Bioquímica*. São Paulo, Sarvier, 2014.
LV, Xiao Hu et al. Design of ball-beam control system based on Machine vision. In: *Applied mechanics and materials*. Trans Tech Publications, 2011. p. 4219-4225.
Nise, Norman S, *Engenharia de Sistemas de Controle*, Rio de Janeiro, LTC, 2013.
Ogata, Katsuhiko, *Engenharia de Controle Moderno*, São Paulo, Person Prentice Hall, 2010.
Rao, Singiresu S., *Vibrações Mecânicas*, São Paulo, Pearson Prentice Hall, 2008.

7. RESPONSABILIDADE PELAS INFORMAÇÕES

Os autores são os únicos responsáveis pelas informações incluídas neste trabalho.